

НАПРАВЛЕННЫЙ ТРАНСПОРТ БРОУНОВСКОЙ ЧАСТИЦЫ В ПЕРИОДИЧЕСКИ СУЖАЮЩЕЙСЯ ТРУБКЕ

Ю. А. Махновский^{a*}, В. Ю. Зицерман^b, А. Е. Антипов^c

^a Институт нефтехимического синтеза им. А. В. Топчиева Российской академии наук
119991, Москва, Россия

^b Объединенный институт высоких температур Российской академии наук
125412, Москва, Россия

^c Московский государственный университет им. М. В. Ломоносова
119992, Москва, Россия

Поступила в редакцию 11 ноября 2011 г.

Рассмотрена задача о движении броуновской частицы в периодически сужающейся трубке, обусловленном периодически меняющейся со временем продольной силой, в среднем равной нулю. Показано, что под действием этой силы частица дрейфует в направлении, обратном приложенной к ней постоянной силе нагрузки. При большой амплитуде движущей силы, когда обсуждаемый эффект максимален, получены аналитические решения для скорости дрейфа, силы остановки (величины нагрузки, приводящей к исчезновению эффекта) и эффективности преобразования энергии вносимых возмущений в направленное движение. В области своей применимости, простирающейся от нуля до асимптотически больших частот переключения силы (пропорциональных амплитуде движущей силы), эти решения находятся в хорошем согласии с результатами компьютерного моделирования, выполненного методом броуновской динамики.

1. ВВЕДЕНИЕ

Обычно считается, что дрейф частиц обусловлен направленным действием либо стационарных макроскопических сил, либо градиентов температуры, химического потенциала и т. п. Сравнительно недавно на примере ряда явлений обнаружено, что происхождение дрейфа может быть и совершенно иным: в пространственно-периодических системах с нарушенной зеркальной симметрией направленное движение может возникать в результате регулярно или случайно повторяемых неравновесных возмущений (ratchet effect). Под неравновесными возмущениями понимаются порождаемые внешним источником процессы, разрушающие равновесие (детальный баланс): химические реакции, в которые вовлечены частицы; фотостимулированные конформационные переходы в них; воздействия случайных или регулярных электрических полей (с нулевым средним) и др. Эти возмущения следует отличать от равновесных флуктуаций (теплового шума), которые неиз-

бежны благодаря контакту с окружающей средой, но сами по себе ни к какому дрейфу не приводят в соответствии со вторым началом термодинамики.

Транспорт частиц, индуцируемый флуктуациями, впервые обсуждался Смолуховским [1] и Фейнманом [2] в связи с анализом возможности «выпрямления» броуновского движения. В дальнейшем исследование проводилось в разных направлениях. Так, в физике твердого тела новый класс явлений переноса был детально изучен на примере появления постоянного электрического тока под воздействием высокочастотного электромагнитного поля в средах без центра симметрии (фотогальванический эффект) [3]. В последние годы основной акцент сместился в область механизмов внутриклеточного транспорта для прояснения принципов работы молекулярных белковых моторов и насосов, конвертирующих энергию биохимических реакций в направленное движение [4–7]. Наряду с фундаментальной значимостью эффекта для неравновесной статистической механики интерес к нему обусловлен также потребностью создания устройств, которые, будучи

*E-mail: yuam@ps.ac.ru

снабжены энергией, способны совершать контролируемое движение наnanoуровне [8, 9].

Модели, обеспечивающие направленное движение броуновских частиц в периодическом, асимметричном окружении под действием неравновесных возмущений и теплового шума, получили название броуновских моторов [10]. Существует обширная литература, посвященная разработке и анализу таких моделей (см. работы [9, 11–15] и ссылки в них). Наряду со средней скоростью дрейфа каждый мотор характеризуется эффективностью преобразования энергии, вносимой возмущениями, в полезную работу [16–19], например, против силы нагрузки. Различают два основных класса броуновских моторов, свойства которых существенно различны [13, 20, 21]: в первом частица реагирует на флуктуации асимметричного окружения (flashing ratchets) [20, 22], а во втором она подвержена зависящей от времени (регулярно или случайно) силе с нулевым средним (rocking ratchets) [23–26].

Зеркальная (лево-правая) асимметрия в направлении периодичности (наряду с источником неравновесия) является необходимым условием реализации эффекта. Она может быть присуща системе априори благодаря нарушенной симметрии локального окружения, а может быть и привнесена возмущениями. Если зеркальная асимметрия обусловлена асимметрией взаимодействия частицы с окружением, транспорт частицы эффективно описывается в терминах диффузии в одномерном ($1D$) периодическом, асимметричном потенциале, возмущаемом источником неравновесия. Такая постановка обсуждается в большинстве публикаций [11–14]. Нарушение симметрии может быть обусловлено и чисто геометрическими факторами: периодически расположенным асимметричными рассеивателями [27, 28] или пространственными ограничениями, например, в трубках и каналах с периодически меняющимся вдоль длины сечением [25, 26, 29–31].

Вариация сечения вдоль оси трубы означает, что область доступного для диффундирующей частицы пространства (энтропия частицы) зависит от ее положения. В этих условиях транспорт частицы эффективно описывается в терминах диффузии в периодическом энтропийном потенциале [33, 34]. Поскольку описания диффузии и дрейфа под действием постоянной силы в энергетическом [35–37] и энтропийном [38, 39] потенциалах формально сходны, обычно полагают [38, 39], что движение частицы в этих случаях протекает сходным образом и, более того, аналогичны и характеристики направленного движения, индуцируемого возмущени-

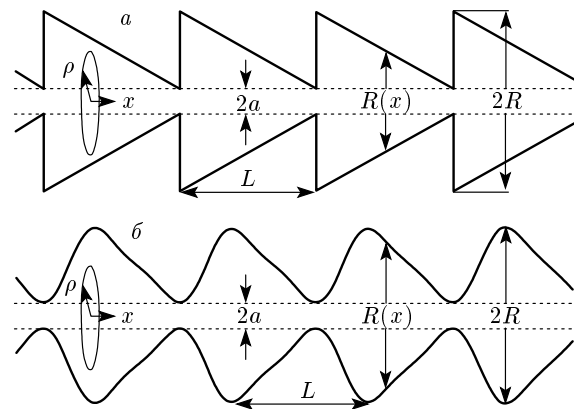


Рис. 1. Трубки с периодически меняющимся по длине сечением, обладающие асимметрией формы: *а* — периодически сужающаяся трубка; *б* — трубка с плавно изменяющимся сечением. Обе трубки имеют одинаковый период L , наибольший R и наименьший a радиусы, но разную зависимость радиуса сечения вдоль их оси, $R(x)$. Пунктиром обозначена цилиндрическая трубка радиуса a

ями [24, 25, 32]. Это действительно так, когда геометрия трубы меняется плавно. Однако, если сечение трубы периодически меняется скачкообразно, аналогия между движением частицы в энергетическом $1D$ -потенциале и трубке переменного сечения разрушается, поскольку определяющую роль играет диффузационная релаксация в поперечном направлении [40–44]. В этом случае, как показано в данной работе, механизм выпрямления за счет асимметрии энтропийного потенциала оказывается особенно эффективным.

В качестве броуновского мотора рассмотрена частица, движущаяся в периодически сужающейся трубке (рис. 1*а*) под действием периодически меняющейся со временем силы $\mathbf{F}(t)$ и постоянной силы нагрузки \mathbf{Q} , направленных вдоль оси трубы. Геометрия трубы характеризуется ее периодом L , а также наибольшим R и наименьшим a радиусами. Переменная сила $\mathbf{F}(t)$ принимает два значения, \mathbf{F} и $-\mathbf{F}$, мгновенно сменяющих друг друга через время τ , так что ее среднее значение за период 2τ равно нулю. Интерес представляют большие времена, когда смещение частицы значительно превышает период L и характеристики транспорта выходят на стационарные значения. Задача состоит в том, чтобы при заданных параметрах, определяющих геометрию трубы и внешнее воздействие, найти основные характеристики мотора: эффективную скорость дрейфа $v(F, \tau, Q)$, так называемую силу остановки

(stopping force) Q_s , под которой понимается величина нагрузки, приводящая к исчезновению эффекта, $v(F, \tau, Q_s) = 0$, и эффективность η преобразования энергии, вносимой возмущениями, в направленное движение. Упрощенная версия модели, в которой отсутствует сила нагрузки, была недавно рассмотрена в кратком сообщении [45].

Привлекательность предложенной модели (рис. 1a) в ее простоте, необычных свойствах, эффективности, а также в возможности получить аналитические решения. Как показано ниже, несмотря на действие силы \mathbf{Q} , постоянно направленной налево, частица (при $Q < Q_s$) движется направо под влиянием в среднем ненаправленной силы $\mathbf{F}(t)$, поскольку в нелинейном по F режиме эффективная подвижность частицы в разных направлениях существенно различна. В отличие от других моделей, где асимметрия подвижности ведет себя немонотонно с ростом амплитуды возмущения F , обращаясь в нуль не только при малых, но и при больших значениях F , здесь она монотонно нарастает, принимая наибольшее значение при $F \rightarrow \infty$. Наш анализ сфокусирован на больших значениях F , при которых эффект максимален, а эффективная скорость дрейфа и сила остановки неограниченно растут с ростом F . Найденное решение для $v(F, \tau, Q)$ при $F \rightarrow \infty$ показывает, как, по мере роста частоты переключений и силы нагрузки, скорость дрейфа убывает от наибольшего значения при адиабатически медленном переключении ($\tau \rightarrow \infty$) и нулевой нагрузке ($Q = 0$) до нуля при больших частотах ($\tau \rightarrow 0$) и нагрузке, близкой к силе остановки ($Q \rightarrow Q_s$). Оно прекрасно согласуется с результатами компьютерного моделирования методом броуновской динамики. Это решение также позволило найти энергетические характеристики мотора в зависимости от силы нагрузки и выяснить условия, обеспечивающие его высокую эффективность. Подчеркнем, что до сих пор аналитические результаты для броуновских моторов (как в энергетической, так и в энтропийной постановке) удавалось получить лишь в адиабатическом пределе, а учет конечности времени переключения осуществлялся лишь численными методами.

В следующем разделе обсуждается броуновское движение под действием постоянной силы в трубках с периодически меняющимся сечением. Особое внимание обращается на то, что зависимость эффективной подвижности частицы от движущей силы в трубках различной геометрии оказывается качественно разной. Основные результаты статьи пред-

ставлены в разд. 3 и 4. На основе фактов, приведенных в разд. 2, в разд. 3 предложена и проанализирована модель броуновского мотора (рис. 1a). Главный результат этого раздела — аналитическое выражение для скорости мотора как функции параметров, определяющих геометрию модели и внешнее воздействие, включая силу нагрузки. Раздел 4 посвящен обсуждению энергетических аспектов задачи. В нем, в частности, получена зависимость эффективности от силы нагрузки при различных значениях τ . Заключение (разд. 5) суммирует основные результаты работы и методы их получения.

2. ДРЕЙФ И ДИФФУЗИЯ ПОД ДЕЙСТВИЕМ ПОСТОЯННОЙ СИЛЫ В ТРУБКАХ ПЕРЕМЕННОГО СЕЧЕНИЯ

Задача о диффузии частицы в трубке переменного сечения возникает в разном контексте (см., например, работы [39, 43] и ссылки в них). Физику задачи определяет то обстоятельство, что область пространства, доступного для диффундирующей частицы, зависит от ее положения.

Рассмотрим точечную броуновскую частицу, движущуюся в трубке под действием постоянной силы \mathbf{F} , направленной вдоль оси x трубы $\mathbf{F} = F \mathbf{e}_x$, где \mathbf{e}_x — единичный вектор в направлении x . Радиус $R(x)$ трубы и ее сечение $A(x) = \pi R^2(x)$ периодически меняются вдоль x с периодом L . В режиме сильного трения динамика частицы описывается уравнением

$$\dot{\mathbf{r}}(t) = \mu_0 F \mathbf{e}_x + \sqrt{2D_0} \xi(t) \quad (1)$$

наряду с отражающими условиями на стенках трубы. Здесь $\mathbf{r}(t)$ — радиус-вектор положения частицы в момент времени t , μ_0 и D_0 — подвижность и коэффициент диффузии свободной броуновской частицы в отсутствие пространственных ограничений, причем $\mu_0 = \beta D_0$ (соотношение Эйнштейна), $\beta = (k_B T)^{-1}$, k_B — постоянная Больцмана, T — температура, $\xi(t)$ — стандартный гауссов белый 3D-шум с нулевым средним и коррелятором

$$\langle \xi_i(t) \xi_j(s) \rangle = \delta_{ij} \delta(t - s),$$

где $i, j = x, y, z$. Эквивалентное описание возникает при использовании плотности вероятности $P_{3D}(x, \rho; t | f)$, характеризующей положение частицы в момент времени t , где ρ — радиус-вектор в цилиндрической системе координат (x, ρ) , а безразмерный параметр $f = \beta F L$ определяет величину силы через отношение работы, совершаемой ею по перемещению частицы на период, к тепловой энергии.

Плотность вероятности $P_{3D}(x, \rho; t|f)$ удовлетворяет 3D-уравнению диффузии с дрейфовым членом и условию обращения в нуль нормальной компоненты потока вероятности на стенках трубы.

В стационарном режиме транспорт частицы характеризуется ее эффективной подвижностью $\mu(f)$ и эффективным коэффициентом диффузии $D(f)$, которые определяются асимптотикой больших времен среднего (по траекториям и точкам старта) и дисперсии смещения частицы $\Delta x(t|f) = x(t|f) - x(0)$:

$$\mu(f) = \frac{1}{F} \lim_{t \rightarrow \infty} \left\langle \frac{\Delta x(t|f)}{t} \right\rangle, \quad (2)$$

$$D(f) = \frac{1}{F} \lim_{t \rightarrow \infty} \frac{\langle [\Delta x(t|f)]^2 \rangle - \langle \Delta x(t|f) \rangle^2}{2t}. \quad (3)$$

В цилиндрической трубке постоянного сечения благодаря разделению переменных задача, по существу, является одномерной. Как подвижность, так и коэффициент диффузии остаются равными своим невозмущенным значениям μ_0 и D_0 независимо от величины приложенной силы. Совершенно иная ситуация имеет место, когда сечение трубы меняется вдоль ее длины. Сложная геометрия не позволяет разделить переменные и найти точное решение. Значительного упрощения можно добиться при использовании огрубленного описания, приближенно сводящего задачу к одномерной.

2.1. Редукция к одномерной задаче

Имеются различные методы сведения задачи к одномерной. Наиболее известный из них, метод Фика–Джейкобса [33, 46], был впервые предложен для анализа чисто диффузионного транспорта, $F = 0$. В его основе переход от детального описания 3D-диффузии в трубке, даваемого функцией $P_{3D}(x, \rho; t|0)$, к эффективному, характеризуемому 1D-плотностью вероятности

$$P(x, t) \equiv P(x, t|0) = 2\pi \int_{A(x)} P_{3D}(x, \rho; t|0) \rho d\rho.$$

При этом предполагается, что релаксация в поперечном направлении протекает мгновенно, обеспечивая однородность распределения частицы в любом сечении трубы, что позволяет записать

$$P_{3D}(x, \rho; t|0) \approx P(x, t)/A(x),$$

где $A(x)$ — площадь сечения трубы. Это предположение оправдано, если $R(x)$ меняется с x медленно,

$|dR(x)/dx| \ll 1$. Основным результатом подхода является кинетическое уравнение для $P(x, t)$:

$$\frac{\partial P(x, t)}{\partial t} = \frac{\partial}{\partial x} D_0 \left[A(x) \frac{\partial}{\partial x} \frac{P(x, t)}{A(x)} \right], \quad (4)$$

получившее название уравнение Фика–Джейкобса. Уравнение (4) представляет собой уравнение непрерывности, в котором поток вероятности определяется произведением градиента 3D-плотности вероятности $P(x, t)/A(x)$ на площадь сечения $A(x)$.

Определив энтропийный потенциал соотношением

$$U(x) = -k_B T \ln \frac{A(x)}{A_{min}},$$

где A_{min} — минимальная площадь сечения трубы, нетрудно заметить, что уравнение (4) описывает диффузию в энтропийном потенциале точно так же, как уравнение Смолуховского–диффузию в обычном энергетическом 1D-потенциале. Таким образом, в рамках подхода Фика–Джейкобса результаты, полученные ранее в теории броуновского движения в периодическом 1D-потенциале, могут быть использованы применительно к рассматриваемой задаче. В частности, согласно известной формуле Лифсона–Джексона [47], эффективные коэффициент диффузии (3) и подвижность (2) при $F = 0$ равны

$$\begin{aligned} \frac{D(0)}{D_0} &= L^2 \left(\int_0^L e^{-\beta U(x)} dx \int_0^L e^{\beta U(y)} dy \right)^{-1} = \\ &= \left(\int_0^1 A(\tilde{x}) d\tilde{x} \int_0^1 \frac{d\tilde{x}}{A(\tilde{x})} \right)^{-1}, \quad (5) \end{aligned}$$

$$\mu(0) = \beta D(0),$$

где

$$\tilde{x} = \frac{x}{L}.$$

Из формулы (5), в силу неравенства Йенсена [48], следует, что $\mu(0) < \mu_0$ и $D(0) < D_0$, т. е. периодическая вариация сечения трубы всегда приводит к замедлению транспорта в ней.

Учет конечных времен поперечной релаксации приводит к модифицированному уравнению Фика–Джейкобса [33, 34, 49], отличающемуся от уравнения (4) тем, что вместо D_0 в нем фигурирует зависящий от положения частицы коэффициент диффузии $D(x)$, меньший D_0 при всех x . Использование модифицированного уравнения существенно расширяет область применимости подхода Фика–Джейкобса. Условием его применимости является выполнение неравенства $|dR(x)/dx| \leq 1$.

В случае, когда $F \neq 0$, модифицированный подход Фика–Джейкобса приводит к уравнению

$$\frac{\partial P(x, t|f)}{\partial t} = \frac{\partial}{\partial x} \left\{ D(x) \left[\frac{\partial P(x, t|f)}{\partial x} + \beta V'(x)P(x, t|f) \right] \right\}, \quad (6)$$

где свободная энергия

$$V(x) = -Fx - k_B T \ln [A(x)/A_{min}]$$

наряду с энтропийным содержит энергетический вклад. Имеет место формальная аналогия этого уравнения с уравнением Смолуховского, описывающим дрейф и диффузию в периодическом энергетическом 1D-потенциале. Это означает, что результаты, полученные ранее в случае чисто энергетического потенциала [35–37], распространяются и на рассматриваемую задачу. В частности, эффективная подвижность может быть представлена формулой [38, 39]

$$\begin{aligned} \frac{\mu(f)}{\mu_0} &= (1-e^{-f}) \left(f \int_0^1 I(\tilde{x}; f) d\tilde{x} \right)^{-1}, \quad \tilde{x} = \frac{x}{L}, \\ I(\tilde{x}; f) &= \frac{D_0}{D(\tilde{x})} \int_{\tilde{x}-1}^{\tilde{x}} \exp[f(\tilde{y} - \tilde{x})] \frac{A(\tilde{y})}{A(\tilde{x})} d\tilde{y}, \end{aligned} \quad (7)$$

аналогичной известной формуле Стратоновича [35]. Сходным образом (по аналогии с результатом работы [37]) получена формула и для эффективного коэффициента диффузии $D(f)$ [38, 39]. Наряду с формальным сходством описаний транспорта в энергетическом и энтропийном потенциалах, между ними имеется и существенное различие. В первом случае сила и температура — независимые параметры, тогда как во втором процесс характеризуется единственным параметром $f = \beta FL$ (см., например, формулу (7)). Тот факт, что динамика частицы в трубке демонстрирует однопараметрический скэйлинг, присущ исходной 3D-задаче, а не является результатом приближения [38, 39]. Сравнение с данными компьютерного моделирования показало, что обобщенный подход Фика–Джейкобса правильно передает поведение транспортных коэффициентов при $f \lesssim 20$ и $|dR(x)/dx| \leq 1$. При больших значениях f более адекватным оказывается уравнение (6) с $D(x) = D_0$ [38, 39].

Подход Фика–Джейкобса непригоден, когда по-перечное сечение трубы периодически меняется скачкообразно. В такой ситуации задачу удобно сформулировать в терминах случайного блуждания

между соседними узлами 1D-решетки [50–52]. При этом игнорируются детали движения частицы в элементарной ячейке трубы, и дело сводится к нахождению распределения времен перехода между соседними ячейками. В общем случае аналитическая реализация такого подхода вряд ли возможна, однако при очень малых значениях f распределение времен перехода удается найти, используя метод гомогенизации граничных условий [53–55]. Что же касается очень больших значений f , соответствующий подход предложен в недавних работах [42, 43].

Основываясь на методах и результатах, изложенных выше, в следующем разделе мы обсуждаем зависимость $\mu(f)$ в трубках различной геометрии. Она оказывается качественно разной. В данной статье наиболее важно, как асимметрия трубы проявляется в асимметрии подвижности при разных значениях f .

2.2. Влияние формы трубы на эффективную подвижность частиц

Вначале рассмотрим трубку, сечение которой меняется плавно (рис. 1б). В этом случае редукция к 1D-описанию методом Фика–Джейкобса (с оговорками, сделанными выше) оправдана и, следовательно, поведение функции $\mu(f)$ аналогично тому, которое известно в задаче о диффузии со сносом в энергетическом потенциале [35–37]. Как следует из формулы Стратоновича или аналогичной ей формулы (7), независимо от направления силы эффективная подвижность растет с ростом $|f|$ от наименьшего значения, определяемого формулой (5), до наибольшего, равного μ_0 (рис. 2б). Тот факт, что $\mu(\pm\infty) = \mu_0 > \mu(0)$ имеет простое объяснение. Эффект приложенной силы нивелирует воздействие потенциала, сводя его к пренебрежимо малому возмущению при больших значениях $|f|$, когда $|F|L$ существенно превышает высоту барьеров. В трубке с плавно меняющимся сечением столкновения со стенками в сочетании с внешней силой фокусируют частицу в цилиндре, проходящем через ее минимальные сечения (см. рис. 1б), так что при $|f| \rightarrow \infty$ частица не ощущает пространственных ограничений [42]. Эффективный коэффициент диффузии частицы в такой трубке (как и в энергетическом потенциале [37]) ведет себя немонотонно [38, 39]: с ростом силы вначале он растет, достигая максимального значения, превышающего D_0 , а затем убывает, приближаясь к D_0 сверху при $|f| \rightarrow \infty$. Все это свидетельствует о том, что большие силы подавляют влияние пространственных ограничений на движение частицы.

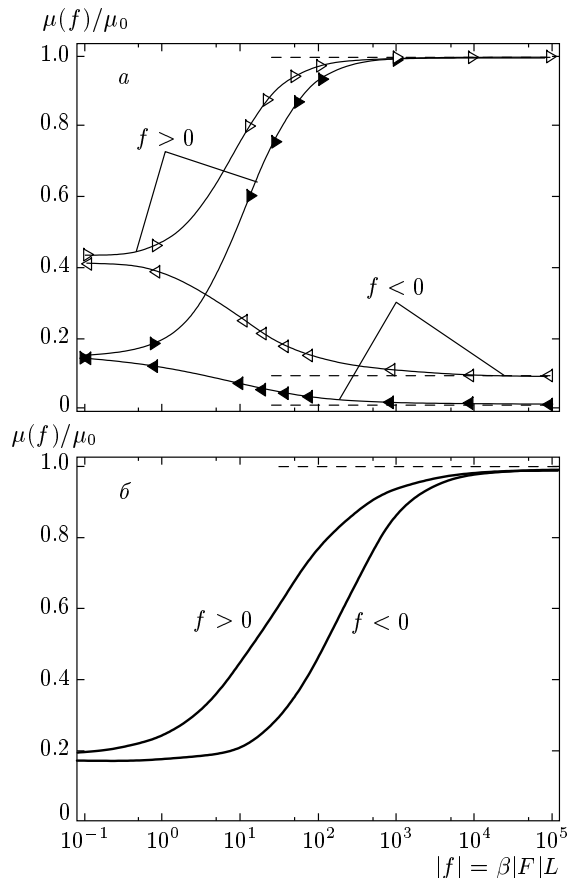


Рис. 2. Зависимости эффективной подвижности μ частицы, движущейся в трубках, показанных на рис. 1, от величины и направления движущей силы $f = \beta FL$. *а*) Символами представлены результаты, полученные на основании данных компьютерного моделирования движения частицы в трубке, показанной на рис. 1 a : треугольники с вершиной, направленной направо (налево), отвечают положительным (отрицательным) значениям f ; темными (светлыми) значениями представлены результаты, полученные при $a/R = 0.1$ ($a/R = 0.3$). Сглаживающие кривые приведены для удобства. Штрихами даны асимптотические значения подвижности при $f \rightarrow \pm\infty$ (см. формулу (9)). *б*) Иллюстрация типичного поведения зависимости $\mu(f)$ при разных направлениях движущей силы в случае, когда частица движется в трубке, показанной на рис. 1 b .

Как следует из формулы (7) и данных моделирования [32], асимметрия трубы (или энергетического потенциала) проявляет себя не только в зависимости эффективной подвижности от величины силы, но и от ее направления. Отличие $\mu(f)$ от $\mu(-f)$, $\Delta\mu(|f|) = \mu(f) - \mu(-f)$, пренебрежимо мало в режиме линейного отклика, $|f| \ll 1$, независимо от формы трубы. В трубах с плавно меняющимся се-

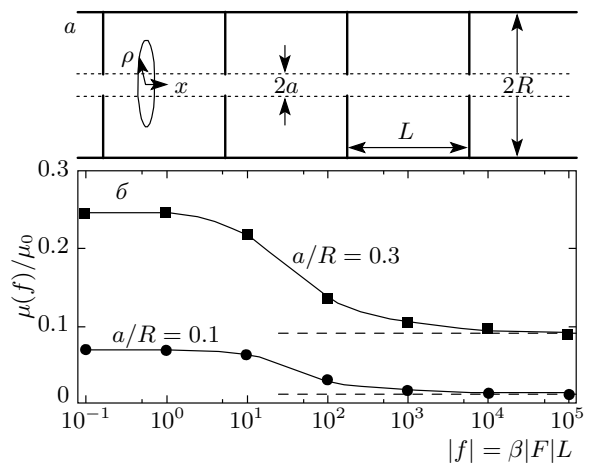


Рис. 3. *а*) Цилиндрическая трубка радиуса R , содержащая периодически расположенные (с периодом L) бесконечно тонкие перегородки с круглым отверстием радиуса a в центре каждой из них. Пунктиром обозначена цилиндрическая трубка радиуса a . *б*) Зависимость эффективной подвижности μ частицы, движущейся в трубке, показанной на рис. 3 a , от величины движущей силы $f = \beta FL$. Символами представлены результаты, полученные на основании данных компьютерного моделирования: кружки (квадраты) отвечают значениям $a/R = 0.1$ ($a/R = 0.3$). Сглаживающие кривые приведены для удобства. Штрихами даны асимптотические значения подвижности при $f \rightarrow \pm\infty$

чением (как и в случае энергетического потенциала) оно также обращается в нуль при $|f| \rightarrow \infty$. Как показано на рис. 2 b , величина $\Delta\mu(|f|)$ заметно отлична от нуля лишь при промежуточных значениях $|f|$, достигая в максимуме (в зависимости от деталей геометрии) значений порядка нескольких десятых μ_0 .

Совершенно иная картина имеет место, когда сечение трубы меняется скачкообразно. Простейший пример, иллюстрирующий этот факт для симметричных структур, приведен в работах [41–43], где рассмотрена диффузия с дрейфом в цилиндрической трубке радиуса R с периодически расположенными бесконечно тонкими перегородками, в центрах которых имеются круглые отверстия радиуса a (рис. 3 a). На рис. 3 b представлена зависимость $\mu(f)$ в такой трубке, полученная на основании данных компьютерного моделирования (детали изложены в Приложении А). Эта зависимость качественно отличается от той, которая наблюдалась в трубке с плавно меняющейся формой (см. рис. 2 b): с ростом силы подвижность частицы не растет, а, наоборот, монотонно убывает. В такой трубке совместное воздей-

ствие силы и столкновений со стенками не приводит к локализации частицы в центральной области трубы, поскольку радиальное распределение частицы в ней,

$$\begin{aligned} P_{2D}(\rho) &= \int_{-\infty}^{\infty} P_{3D}(x, \rho; t|f) dx = \\ &= P_{2D}^{eq}(\rho) = (\pi R^2)^{-1}, \quad (8) \end{aligned}$$

остается однородным при любом значении f . Благодаря приложенной силе, продольное распределение частицы в каждой ячейке становится неоднородным, поскольку она повышает вероятность обнаружения частицы вблизи той перегородки, к которой ее подталкивает. Тормозящий эффект перегородки нарастает по мере роста силы, приводя к снижению подвижности.

Частица может находиться либо в цилиндре радиуса a , соединяющим отверстия (см. рис. 3a), либо в узком слое толщиной L/f вблизи стенки. При $f \gg 1$ в первом случае она, не испытывая ограничений, движется вдоль оси трубы, т. е. находится в подвижном состоянии, а во втором, будучи прижатой к стенке, находится в неподвижном состоянии. Переходы из одного состояния в другое происходят за счет радиальной диффузии, что исключает аналогию с движением частицы в 1D-потенциале. Подвижность частицы при $f \rightarrow \infty$ определяется не зависящей от f вероятностью ее пребывания в подвижном состоянии, которая с учетом формулы (8) равна a^2/R^2 . Следовательно, $\mu(f) \rightarrow \mu_0 a^2/R^2$ при $f \rightarrow \infty$ [41–43] в хорошем согласии с результатами моделирования, представленными на рис. 3a. Заметим, что и зависимость $D(f)$ в трубке, показанной на рис. 3a, совершенно иная, чем в трубке с плавно меняющейся формой (как на рис. 1б): коэффициент диффузии неограниченно растет с ростом силы, $D(f) \propto f^2$ при $f \rightarrow \infty$ [42, 43]¹⁾. Таким образом, в зависимости от того, резко или плавно меняется форма трубы, влияние пространственных ограничений на диффузионный транспорт может нарасти или подавляться с ростом приложенной силы [44]²⁾.

¹⁾ Отметим, что асимптотики эффективной подвижности и эффективного коэффициента диффузии при $f \rightarrow \infty$ не зависят от расстояния L между перегородками. Это означает, что при больших f результаты работ [42, 43] справедливы при произвольном (апериодическом) расположении перегородок.

²⁾ В работе [44] показано, что возможны и промежуточные варианты, когда форма трубы меняется с большой, но конечной скоростью. Тогда с ростом силы эффективная подвижность частицы вначале убывает, но затем снова возрастает до μ_0 при $f \rightarrow \infty$.

Учитывая изложенное выше, перейдем к основной задаче этого раздела — анализу движения частицы под действием постоянной силы в периодически сужающейся трубке (см. рис. 1a). Здесь имеет место пространственная асимметрия (как в трубке на рис. 1б) наряду со скачкообразным изменением формы (как в трубке на рис. 3a). Это определяет поведение представленной на рис. 2a зависимости $\mu(f)$ при разных направлениях силы. При $f > 0$ подвижность монотонно растет с ростом силы и стремится к μ_0 , когда $f \rightarrow +\infty$. Как и в трубке с плавно меняющимся сечением (см. рис. 1б), внешняя сила, благодаря столкновениям частицы со стенками, фокусирует ее в цилиндре радиуса a , так что при достаточно больших f она не ощущает наличия пространственных ограничений (ср. с кривыми на рис. 2б). Если же $f < 0$, то, как видно из рис. 2a, подвижность частицы монотонно убывает с ростом силы аналогично тому, как это происходит в трубке с перегородками (ср. с кривыми на рис. 3б). При больших f , когда частица плотно прижата к стенке, такая аналогия становится количественно точной, о чем свидетельствует совпадение асимптотических значений $\mu(f)$ на рис. 2a и 3б. Таким образом, асимметрия периодически сужающейся трубы приводит к асимметрии подвижности частицы, которая наиболее ярко выражена при больших значениях силы:

$$\mu(+\infty) = \mu_0, \quad \mu(-\infty) = \mu_0 a^2/R^2. \quad (9)$$

Как видно на рис. 2a, выход на асимптотику происходит при $f \approx 100$, если сила положительна, и при $|f| \approx 1000$, когда она отрицательна.

Анизотропия подвижности, возникающая благодаря асимметрии окружения, указывает на возможность генерации направленного движения под действием зависящей от времени силы с нулевым средним. Схема, реализующая такое выпрямление, была впервые предложена в работах [23, 24], где рассматривалась диффузия в асимметричном периодическом энергетическом 1D-потенциале. Затем она обсуждалась применительно к плавно меняющемуся периодическому энтропийному потенциалу [25, 26, 32]. В следующих разделах эта идея обсуждается в ситуации, когда асимметричный энтропийный потенциал периодически меняется резко. В ранее предложенных моделях (схематически представленных на рис. 1б) величина $\Delta\mu(|f|)/\mu_0$, характеризующая асимметрию подвижности, сравнительно мала и обращается в нуль при больших значениях $|f|$ (см. рис. 2б). Привлекательность модели, представленной на рис. 1a, в том, что отношение $\Delta\mu(|f|)/\mu_0$ достигает значений, близких к единице,

$\Delta\mu_{max}/\mu_0 = 1 - (a/R)^2$, при достаточно больших $|f|$ и малых a/R , обеспечивая тем самым высокую скорость и эффективность работы предлагаемого броуновского мотора.

3. СКОРОСТЬ ДРЕЙФА ЧАСТИЦЫ, ИНДУЦИРУЕМОГО ПЕРИОДИЧЕСКИ МЕНЯЮЩЕЙСЯ ПО НАПРАВЛЕНИЮ СИЛОЙ

3.1. Формулировка задачи

Рассмотрим точечную броуновскую частицу, движущуюся в трубке, показанной на рис. 1a, под действием переменной силы $\mathbf{F}(t)$ и постоянной силы нагрузки $\mathbf{Q} = -Q\mathbf{e}_x$, направленных вдоль оси x трубы. Переменная сила принимает два значения, $\mathbf{F} = F\mathbf{e}_x$ и $-\mathbf{F} = -F\mathbf{e}_x$; продолжительность каждого периода равна τ , так что среднее значение силы за период 2τ равно нулю. Динамика частицы в режиме сильного трения описывается уравнением

$$\dot{\mathbf{r}}(t) = \mu_0 [\mathbf{F}(t) - Q\mathbf{e}_x] + \sqrt{2D_0} \boldsymbol{\xi}(t), \quad (10)$$

наряду с отражающими условиями на стенках трубы (обозначения в формуле (10) такие же, как в аналогичной формуле (1)). Несмотря на действие силы \mathbf{Q} , постоянно толкающей частицу налево, она (при значениях Q , меньших силы остановки Q_s) дрейфует направо под влиянием в среднем ненаправленной силы $\mathbf{F}(t)$, благодаря асимметрии эффективной подвижности. Задача состоит в том, чтобы при заданных параметрах, определяющих геометрию модели и внешнее воздействие, найти эффективную скорость дрейфа в установившемся режиме, $v(F, \tau; Q)$. Анализ сфокусирован на область больших амплитуд F , где асимметрия подвижности выражена наиболее ярко (см. рис. 2a) и обсуждаемый эффект максимален. Заметим, что $F - Q_s > 0$ при таких значениях F .

В течение положительного полупериода изменения $\mathbf{F}(t)$ на частицу действует результирующая сила $F - Q$ и частица (в установившемся режиме) смещается направо в среднем на $\langle \Delta x[\tau; f(1-q)] \rangle$, где $f = \beta FL$ и $q = Q/F$. Аналогично, во втором полупериоде частица под действием силы $-(F+Q)$ смещается налево в среднем на $\langle \Delta x[\tau; -f(1+q)] \rangle$. Следовательно, интересующая нас эффективная скорость дрейфа равна

$$v(f, \tau; q) = \frac{\langle \Delta x[\tau; f(1-q)] \rangle - \langle \Delta x[\tau; -f(1+q)] \rangle}{2\tau}. \quad (11)$$

3.2. Адиабатический предел

В адиабатическом пределе, $\tau \rightarrow \infty$, смещения частицы за полупериод легко находятся. В этом случае релаксация одного неравновесного стационарного состояния, отвечающего постоянной силе, скажем, направленной направо, в другое, которое возникает под действием силы, направленной налево, и наоборот, протекает практически мгновенно (по сравнению с τ). Поскольку рассматриваются амплитуды $F \rightarrow \infty$ и, более того, разность $F - Q$ также предполагается достаточно большой при любых $Q < Q_s$, то при $\tau \rightarrow \infty$

$$\begin{aligned} \langle \Delta x[\tau; f(1-q)] \rangle_{ad} &= \mu(+\infty)(F - Q)\tau, \\ \langle \Delta x[\tau; -f(1+q)] \rangle_{ad} &= \mu(-\infty)(F + Q)\tau. \end{aligned} \quad (12)$$

Таким образом, для скорости дрейфа в адиабатическом режиме имеем

$$\begin{aligned} v_{ad}(F; Q) &\equiv v(F, \infty; Q) = \\ &= v_{ad,0}(F) [1 - Q/Q_{s,ad}(F)]. \end{aligned} \quad (13)$$

Здесь введены обозначения

$$\begin{aligned} v_{ad,0}(F) &= \mu_0 \frac{\alpha}{1 + \alpha} F, \quad Q_{s,ad}(F) = \alpha F, \\ \alpha &= \frac{\mu(+\infty) - \mu(-\infty)}{\mu(+\infty) + \mu(-\infty)} = \frac{1 - a^2/R^2}{1 + a^2/R^2}, \end{aligned} \quad (14)$$

имеющие ясный физический смысл. Величина $v_{ad,0}(F)$ есть скорость движения частицы в адиабатическом режиме при нулевой нагрузке. Будучи линейной по F , она неограниченно нарастает с ростом амплитуды движущей силы, т. е. ведет себя совершенно иначе, чем в ранее предложенных моделях броуновских моторов, индуцируемых осциллирующей силой [23–25]. Сила остановки в адиабатическом режиме, $Q_{s,ad}(F)$, также линейно растет с F . Параметр α количественно характеризует асимметрию подвижности при $F \rightarrow \infty$. Если значение F велико, то даже при высокой асимметрии разность $F - Q_{s,ad}(F) = F(1 - \alpha)$ оказывается достаточно большой, чтобы считать, что $\mu[f(1 - \alpha)] = \mu(+\infty)$. Например, при $a/R = 0.1$ и $\alpha \approx 0.98$ это выполняется при $f > 5 \cdot 10^3$ (см. рис. 2a).

Формула (13) описывает зависимость «скорость–нагрузка», которая является одной из важнейших характеристик любого мотора. Отличительной особенностью этой зависимости является то, что как скорость дрейфа, так и сила остановки могут быть сколь угодно велики, тогда как обычно они ограничены сверху.

3.3. Иерархия характерных времен

Здесь и далее обсуждается ситуация с конечными временами τ переключения силы. Соответствующий анализ предполагает сравнение τ с другими характерными временами задачи. В условиях, обеспечивающих высокий уровень выпрямления внешнего сигнала (большие амплитуды F в сочетании с малым отношением a/R), имеет место существенное различие временных масштабов релаксационных процессов.

Масштаб R^2/D_0 характеризует радиальную релаксацию точечной неоднородности по наибольшему сечению трубы. Именно он определяет границы применимости адиабатического приближения. Значительно меньшее время, a^2/D_0 , определяет диффузионное рассасывание по сечению неоднородности размером порядка a . Оба указанных масштаба не зависят от амплитуды движущей силы и величины нагрузки. Наименьший из существенных временных масштабов — время пролета элементарной ячейки трубы частицей, движущейся под действием положительно направленной силы. При наличии нагрузки эта величина равна

$$t_d = \frac{L}{\mu_0(F - Q)} = \frac{L^2/D_0}{f(1-q)},$$

что при $f \gg 1$ на много порядков меньше остальных характерных времен задачи. Временной масштаб t_d определяет границы применимости предлагаемого подхода.

Обсудим теперь протекание релаксационных процессов, обусловленных переключением направления силы. В начале положительного полупериода силы $\mathbf{F}(t)$ радиальное распределение частицы в трубке однородно по сечению радиуса R (см. формулу (8)). Далее, благодаря совместному воздействию силы и столкновений со стенками, распределение частицы быстро, за времена порядка t_d , фокусируется в пределах цилиндра радиуса a . Это означает, что если $\tau \gg t_d$, то положительный полупериод частица в основном проводит в подвижном состоянии (в полном согласии с данными компьютерного моделирования). Наоборот, в начале отрицательного полупериода действия силы $\mathbf{F}(t)$ частица находится в подвижном состоянии, $\rho < a$. Затем медленно, благодаря радиальной диффузии, она переходит в новое неравновесное стационарное состояние, характеризуемое однородным распределением по сечению радиуса R . При этом заселенность подвижного состояния, $p(t)$, снижается от единицы при $t = 0$ до a^2/R^2 при $t \rightarrow \infty$. Характерное время этого процесса, t_{rel} не зависит от силы, и поэтому $t_{rel} \gg t_d$.

Таким образом, асимметрия формы трубы проявляется не только в асимметрии подвижности, но и в асимметрии времен релаксации. Если первая наиболее ярко выражена при малых значениях отношения a/R , то вторая, наоборот, ослабевает в этих условиях. Дело в том, что (как показано ниже) $t_{rel} \rightarrow 0$ при $a \rightarrow 0$, а время t_d от a не зависит, поэтому неравенство $t_{rel} \gg t_d$ теряет силу.

Исходя из этой качественной картины и следуя определению (11), получим выражение для скорости дрейфа, зависящей от частоты переключения, которое оправдано вплоть до асимптотически малых времен $\tau \sim t_d$. Среднее смещение частицы за положительный полупериод действия силы $\mathbf{F}(t)$, как и в адиабатическом режиме (см. формулу (12)), равно $\mu_0(F - Q)\tau$, в то время как эта же величина за отрицательный полупериод дается выражением $\mu_0(F + Q) \int_0^\tau p(t) dt$. Следовательно, интересующая нас скорость дрейфа может быть представлена в виде

$$v(F, \tau; Q) = v_0(F, \tau) [1 - Q/Q_s(F, \tau)], \quad (15)$$

где $v_0(F, \tau)$ — зависящая от τ скорость дрейфа частицы в отсутствие нагрузки,

$$v_0(F, \tau) \equiv v(F, \tau; 0) = \frac{1}{2} \mu_0 F \left[1 - \int_0^\tau \frac{p(t) dt}{\tau} \right], \quad (16)$$

и $Q_s(F, \tau)$ — зависящая от частоты переключений сила остановки,

$$Q_s(F, \tau) = F \frac{1 - \int_0^\tau p(t) dt / \tau}{1 + \int_0^\tau p(t) dt / \tau}. \quad (17)$$

Таким образом, задача сводится к отысканию величин $v_0(F, \tau)$ и $Q_s(F, \tau)$.

3.4. Релаксационная функция

Полученные формулы принимают более простой вид, если для описания кинетики затухания заселенности $p(t)$ подвижного состояния воспользоваться релаксационной функцией $\mathfrak{R}(t)$, характеризующей релаксацию начального состояния, $p(0) = 1$, к равновесному значению, $p_{eq} = p(\infty) = (a/R)^2$:

$$p(t) = p_{eq} + (1 - p_{eq})\mathfrak{R}(t). \quad (18)$$

Функция

$$\mathfrak{R}(t) = \frac{p(t) - p_{eq}}{1 - p_{eq}} = \frac{p(t) - a^2/R^2}{1 - a^2/R^2} \quad (19)$$

монотонно убывает со временем от единицы при $t = 0$ до нуля при $t \rightarrow \infty$. Интегральной характеристикой процесса служит время релаксации

$$t_{rel} = \int_0^\infty \mathfrak{R}(t) dt. \quad (20)$$

Воспользовавшись формулой (18), величины $v_0(F, \tau)$ (16) и $Q_s(F, \tau)$ (17) удобно записать в факторизованном виде:

$$\begin{aligned} v_0(F, \tau) &= v_{ad,0}(F)\varphi(\tau), \\ Q_s(F, \tau) &= Q_{s,ad}(F)\tilde{\varphi}(\tau), \end{aligned} \quad (21)$$

где $v_{ad,0}(F)$ — скорость дрейфа частицы в адиабатическом режиме при нулевой нагрузке, $Q_{s,ad}(F)$ — сила остановки в адиабатическом режиме. Функции

$$\varphi(\tau) = 1 - \frac{1}{\tau} \int_0^\tau \mathfrak{R}(t) dt, \quad \tilde{\varphi}(\tau) = \frac{\varphi(\tau)}{1 + \alpha - \alpha\varphi(\tau)}, \quad (22)$$

где α — параметр, характеризующий асимметрию подвижности, определены формулами (14), описывают затухание скорости дрейфа при нулевой нагрузке и силы остановки с ростом частоты переключений. Как $\varphi(\tau)$, так и $\tilde{\varphi}(\tau)$ монотонно возрастают от нуля до единицы по мере роста τ от 0 до ∞ . Из формул (21) следует, что функции $v_0(F, \tau)$ и $Q_s(F, \tau)$ ведут себя с изменением F точно так же, как в адиабатическом режиме: они линейны по амплитуде силы и принимают сколь угодно большие значения при $F \rightarrow \infty$. Зависимости этих величин от τ , по существу, определяются функцией $\varphi(\tau)$, анализу которой посвящен следующий раздел. Объединив формулы (14), (15) и (21), получим для скорости дрейфа частицы выражение, в котором вклад каждого из определяющих процессов факторов указан в явном виде:

$$v(F, \tau; Q) = \mu_0 \frac{\alpha}{1 + \alpha} F \varphi(\tau) \left[1 - \frac{Q}{\alpha F \tilde{\varphi}(\tau)} \right]. \quad (23)$$

3.5. Вычисление $\varphi(\tau)$

Поведение функции $\varphi(\tau)$ в предельных случаях больших и малых τ понятно без всяких расчетов. При $\tau \rightarrow \infty$ релаксация протекает мгновенно и $\varphi(\tau) \rightarrow 1$, как и должно быть. Более того, при

$\tau \gg t_{rel}$ функция $\mathfrak{R}(t)$ быстро затухает и можно считать, что $\int_0^\tau \mathfrak{R}(t) dt \approx t_{rel}$, т. е.

$$\varphi(\tau) \approx 1 - t_{rel}/\tau. \quad (24)$$

Если же время τ очень мало, то можно считать, что $\mathfrak{R}(t) \approx 1$ и, следовательно, $\varphi(\tau) \rightarrow 0$ при $\tau \rightarrow 0$. Таким образом, и скорость дрейфа, и сила остановки обращаются в нуль при высоких частотах переключения. Чтобы найти $\varphi(\tau)$ точно, нужно решить задачу о 2D-диффузии в круге радиуса R с условием отражения на границе и начальным условием, отвечающим равномерному распределению в пределах малого круга радиуса a .

Рассмотрим частицу, диффундирующую в круге радиуса R , точка старта которой находится на расстоянии $\rho_0 < R$ от его центра. Плотность вероятности обнаружить эту частицу на расстоянии $\rho < R$ в момент времени t , $G(\rho, t | \rho_0)$, удобно записать, воспользовавшись собственными функциями ψ_n и собственными значениями ν_n ($n = 0, 1, 2, \dots$) 2D-оператора Лапласа, удовлетворяющими уравнениям

$$\frac{1}{\rho} \frac{d}{d\rho} \left(\rho \frac{d\psi_n}{d\rho} \right) = -\nu_n \psi_n, \quad \frac{d\psi_n}{d\rho} \Big|_{\rho=R} = 0. \quad (25)$$

Нулевому собственному значению, $\nu_0 = 0$, отвечает константа $\psi_0(\rho) = (\pi R^2)^{-1}$, которая соответствует равновесному, однородному распределению. Остальным собственным значениям, $\nu_n = \varepsilon_n^2/R^2$ ($n \geq 1$), отвечают собственные функции $J_0(\varepsilon_n \rho / R)$, где $J_k(z)$ — функция Бесселя первого рода порядка k , а $\varepsilon_n = n$ -й положительный корень уравнения $J_1(\varepsilon_n) = 0$, определяемый для любого n с хорошей точностью приближенной формулой [56]

$$\varepsilon_n \approx \pi \left[n + 0.25 - \frac{0.151982}{4n+1} + \frac{0.015399}{(4n+1)^3} - \frac{0.245270}{(4n+1)^5} + \frac{1.68637}{(4n+1)^7} \right]. \quad (26)$$

В этих терминах спектральное разложение пропагатора $G(\rho, t | \rho_0)$ имеет вид

$$\begin{aligned} G(\rho, t | \rho_0) &= \frac{1}{\pi R^2} \left[1 + \sum_{n=1}^{\infty} \frac{J_0(\varepsilon_n \rho / R) J_0(\varepsilon_n \rho_0 / R)}{J_0^2(\varepsilon_n)} \times \right. \\ &\quad \left. \times \exp \left(-\varepsilon_n^2 \frac{D_0 t}{R^2} \right) \right]. \end{aligned} \quad (27)$$

Поскольку $p(t)$ есть вероятность обнаружения частицы в круге радиуса a в момент времени t при

условии, что точки ее старта равномерно распределены в этом круге, то

$$p(t) = \frac{4\pi}{a^2} \int_0^a \int_0^a G(\rho, t | \rho_0) \rho \rho_0 d\rho d\rho_0.$$

Формула (27) позволяет записать $p(t)$ в виде

$$p(t) = \frac{a^2}{R^2} + 4 \sum_{n=1}^{\infty} \frac{J_1^2(\varepsilon_n a/R)}{\varepsilon_n^2 J_0^2(\varepsilon_n)} \times \exp\left(-\varepsilon_n^2 \frac{D_0 t}{R^2}\right). \quad (28)$$

Далее находим релаксационную функцию $\mathfrak{R}(t)$, определяемую формулой (19):

$$\mathfrak{R}(t) = \frac{4}{1 - a^2/R^2} \sum_{n=1}^{\infty} \frac{J_1^2(\varepsilon_n a/R)}{\varepsilon_n^2 J_0^2(\varepsilon_n)} \times \exp\left(-\varepsilon_n^2 \frac{D_0 t}{R^2}\right). \quad (29)$$

Как и должно быть, $p(\infty)$ есть равновесная заселенность, $p_{eq} = a^2/R^2$ и $\mathfrak{R}(\infty) = 0$. С другой стороны, $p(0) = 1$ и $\mathfrak{R}(0) = 1$ в силу соотношения

$$\sum_{n=1}^{\infty} \frac{J_1^2(\varepsilon_n x)}{\varepsilon_n^2 J_0^2(\varepsilon_n)} = \frac{1 - x^2}{4}, \quad 0 < x \leq 1. \quad (30)$$

Наконец, подставляя выражение (29) для $\mathfrak{R}(t)$ в первую из формул (22) и выполнив интегрирование, приходим к основному результату этого раздела:

$$\varphi(\tau) = 1 - \frac{4}{1 - a^2/R^2} \frac{R^2}{D_0 \tau} \sum_{n=1}^{\infty} \frac{J_1^2(\varepsilon_n a/R)}{\varepsilon_n^4 J_0^2(\varepsilon_n)} \times \left[1 - \exp\left(-\varepsilon_n^2 \frac{D_0 \tau}{R^2}\right)\right]. \quad (31)$$

Монотонное убывание скорости с частотой возмущения (от наибольшего значения в адиабатически медленном режиме до нуля при больших частотах) присуще любому броуновскому мотору, дрейф которого обусловлен флюктуирующей силой (rocking ratchets) [23–26]. Формула (31) определяет эту зависимость аналитически (до сих пор она изучалась лишь численными методами). Отметим, что скорость моторов, функционирующих за счет флюктуаций потенциала (flashing ratchets) [20, 22], ведет себя немонотонно с ростом частоты, обращаясь в нуль в низко- и высокочастотном пределах.

3.6. Низко- и высокочастотные пределы

Формулы (23) и (31) определяют зависимость скорости дрейфа от параметров, характеризующих геометрию трубы и внешнее воздействие, включая силу нагрузки, т. е. решают поставленную задачу. Проанализируем их более подробно, сфокусировав основное внимание на эффекте частоты переключений.

Вначале найдем время t_{rel} . Из определения (20) и выражения (29) следует, что

$$t_{rel} = \frac{4}{1 - a^2/R^2} \frac{R^2}{D_0} \sum_{n=1}^{\infty} \frac{J_1^2(\varepsilon_n a/R)}{\varepsilon_n^4 J_0^2(\varepsilon_n)}. \quad (32)$$

Суммирование ряда (32) (основные этапы которого приведены в Приложении В) дает³⁾

$$t_{rel} = \frac{a^2}{4R^2} \left[\frac{\ln(R^2/a^2)}{1 - a^2/R^2} - 1 \right] \frac{R^2}{D_0}. \quad (33)$$

Из полученных формул видно, что t_{rel} обращается в нуль при $a = 0$ и $a = R$, достигая максимума между этими двумя значениями. В диапазоне $0.03 \leq a/R \leq 0.3$ время релаксации совпадает по порядку величины с a^2/D_0 . Именно эта область значений a/R наиболее удобна для наблюдения эффекта, поскольку соответствующие отношения a/R достаточно малы, чтобы обеспечить высокую асимметрию подвижности, но в то же время и достаточно велики, чтобы имела место асимметрия времен релаксации, определяемая неравенством $t_{rel} \gg t_d$. Так как при этом $t_{rel} \approx a^2/D_0$, из последнего неравенства и определения t_d следует условие на амплитуду силы, которая требуется для оптимальной реализации эффекта:

$$f(1 - q) \gg (L/a)^2. \quad (34)$$

Обсудим зависимость $\varphi(\tau)$ (31). Начнем с низких частот переключения силы. Если время τ достаточно велико, $\tau > t_\infty = \varepsilon_1^{-2} R^2 / D_0$, то членами, содержащими экспоненты в формуле (31), можно пренебречь и в силу соотношения (32) она сводится к формуле (24). Время $t_\infty \gg t_{rel}$ дает оценку границы перехода к адиабатическому режиму. В случае медленных переключений величина $\tilde{\varphi}(\tau)$, определяемая формулой (22), может быть записана в виде

$$\tilde{\varphi}(\tau) \approx \frac{1 - t_{rel}/\tau}{1 + \alpha t_{rel}/\tau} \approx 1 - (1 + \alpha) \frac{t_{rel}}{\tau}. \quad (35)$$

³⁾ Отметим, что формула (33) получается и иным методом, основанным на анализе неравновесной части пропагатора (27), как это показано в работе [57].

Сравнение формул (22) и (35) показывает, что сила остановки несколько более чувствительна к неадиабатичности процесса, чем скорость при нулевой нагрузке.

Обсуждение обратного предела (высоких частот переключения силы) удобно начать с анализа поведения производной по времени вероятности $p(t)$ (28) при малых t :

$$-\frac{dp(t)}{dt} = 4 \frac{D_0}{R^2} \sum_{n=1}^{\infty} \frac{J_1^2(\varepsilon_n a/R)}{J_0^2(\varepsilon_n)} \exp\left(-\varepsilon_n^2 \frac{D_0 t}{R^2}\right). \quad (36)$$

Ключевым является тот факт, что предел $t \rightarrow 0$ эквивалентен пределу $R \rightarrow \infty$ (при фиксированном отношении a/R). Он означает, что спектр собственных значений $\nu_n = \varepsilon_n^2/R^2$ квазинепрерывен и суммирование в формуле (36) можно заменить интегрированием. Учитывая это и воспользовавшись формулой (26), соотношением $J_0^2(\varepsilon_n) \approx 2/\pi\varepsilon_n$ и асимптотикой функций Бесселя при больших значениях аргумента [56], получим

$$\begin{aligned} -\frac{dp(t)}{dt} &\approx 2\pi^2 \frac{D_0}{R^2} \sum_{n=1}^{\infty} n J_1^2\left(\frac{\pi n a}{R}\right) \times \\ &\times \exp\left(-\pi^2 \frac{n^2 D_0 t}{R^2}\right) \approx 2 \frac{D_0}{R^2} \int_0^{\infty} x J_1^2\left(\frac{x a}{R}\right) \times \\ &\times \exp\left(-\frac{x^2 D_0 t}{R^2}\right) dx = \frac{2}{t} \int_0^{\infty} z J_1^2\left(\frac{z a}{\sqrt{D_0 t}}\right) \times \\ &\times \exp(-z^2) dz \approx \sqrt{\frac{D_0}{\pi a^2 t}}. \end{aligned} \quad (37)$$

Следовательно, $p(t) \approx 1 - \sqrt{4Dt/\pi a^2}$ при $t \rightarrow 0$. Обратим внимание на то, что в этом пределе заселенность подвижного состояния (вероятность обнаружения частицы в круге радиуса a) не зависит от R . Дело в том, что за столь малые времена частица, стартующая из круга радиуса a , просто не успевает «ощутить» влияние отражающей границы, расположенной на окружности радиуса R . Это дает оценку границы применимости асимптотики малых времен:

$$t \ll t_0 = \frac{1}{2} \frac{R^2}{D_0} \left(1 - \frac{a}{R}\right)^2.$$

Асимптотика функции $p(t)$ определяет поведение релаксационной функции (29) на малых временах и, в конечном итоге, позволяет найти асимптотическое поведение функций $\varphi(\tau)$ (31) и $\tilde{\varphi}(\tau)$ (22) при высоких частотах переключения силы:

$$\varphi(\tau) \approx \frac{2(1+\alpha)}{3\alpha} \sqrt{\frac{D\tau}{\pi a^2}}, \quad (38)$$

$$\tilde{\varphi}(\tau) \approx \frac{\varphi(\tau)}{1+\alpha} = \frac{2}{3\alpha} \sqrt{\frac{D\tau}{\pi a^2}}. \quad (39)$$

Зависимость (38) правильно передает поведение функции $\varphi(\tau)$ при $\tau \ll t_0$. Однако она (как и сама формула (31)) становится непригодна, когда времена переключения очень малы, $\tau \leq t_d \propto f^{-1}$.

3.7. Сопоставление с результатами компьютерного моделирования

Предложенный подход и полученные результаты основаны на нескольких приближениях: считается, что амплитуда движущей силы достаточно велика и релаксация при положительном направлении силы $\mathbf{F}(t)$ протекает практически мгновенно, а в течение отрицательного полупериода действия силы $\mathbf{F}(t)$ контролируется радиальной диффузией. Для оценки точности сделанных приближений и выяснения границ их применимости предсказания аналитических расчетов были сопоставлены с результатами компьютерного моделирования, выполненного методом броуновской 3D-динамики (детали приведены в Приложении А).

Графики, иллюстрирующие поведение функции $\varphi(\tau)$ (31) во всем диапазоне времен переключения, представлены на рис. 4 для двух значений отношения радиусов: $a/R = 0.1$ и $a/R = 0.3$. На этом же рисунке показаны кривые, демонстрирующие асимптотическое поведение функции $\varphi(\tau)$ при больших и малых значениях τ , рассчитанные соответственно по формулам (24) и (38). Поскольку при выбранных значениях a/R время релаксации $t_{rel} = a^2/D_0$, из рис. 4 следует, что низкочастотная асимптотика (24) оправдана при $\tau \geq 0.1 R^2/D_0$, а высокочастотная (38) — при $\tau \leq a^2/D_0$.

В ходе моделирования, следуя первой из формул (21), значения $\varphi(\tau)$ определялись как отношение эффективной скорости дрейфа при нулевой нагрузке (вычисляемой по формуле (11)) к скорости частицы в адиабатическом пределе $v_{ad,0}(F)$ (задаваемой первой из формул (14)). Результаты расчетов представлены символами на рис. 4. Моделирование проводилось в трубке с периодом $L = R$ при $a/R = 0.1$ и $a/R = 0.3$ и двух значениях безразмерной силы $f = 10^4$ и $f = 10^5$, достаточно больших, чтобы обеспечить асимметрию подвижности $\Delta\mu(|f|)/\mu_0$ близкую к максимальной, $1 - a^2/R^2$ (см. рис. 2a). Сопоставление аналитических и численных результатов показывает их хорошее согласие при $f = 10^5$ вплоть до асимптотически малых времен переключения. Как и следовало ожидать, при $f = 10^4$ форму-

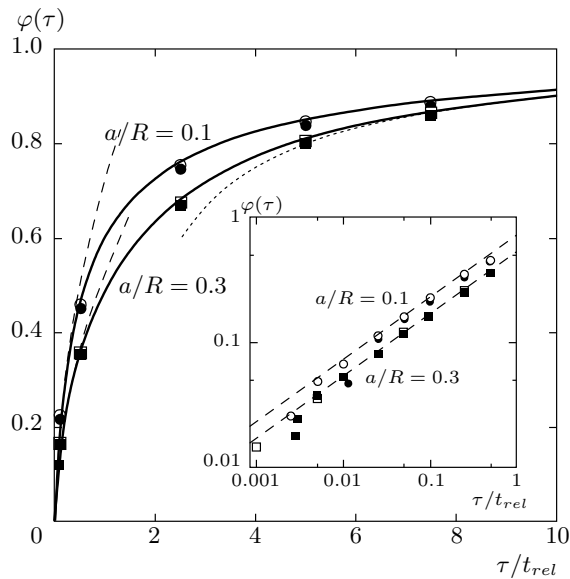


Рис. 4. Сопоставление аналитических и численных результатов, характеризующих рост скорости дрейфа частицы с увеличением времени переключения τ . Сплошные кривые представляют графики зависимости $\varphi(\tau)$, определяемой формулой (31), при $a/R = 0.1$ и $a/R = 0.3$. Штриховые кривые иллюстрируют асимптотическое поведение $\varphi(\tau)$ при малых τ (формула (38)). Пунктиром дана кривая, отвечающая асимптотике $\varphi(\tau)$ при больших значениях τ/t_{rel} (формула (24)). Результаты компьютерного моделирования представлены символами: темными для $f = 10^4$ и светлыми для $f = 10^5$. Вставка содержит результаты для малых τ , где формулы (31) и (38) неразличимы

ла (31) дает оценку $\varphi(\tau)$, завышенную на несколько процентов, поскольку асимметрия подвижности при таких силах чуть меньше максимальной.

На вставке к рис. 4 представлены асимптотики малых τ , рассчитанные по формуле (38), и соответствующие результаты моделирования. Как не раз отмечалось, предлагаемый подход оправдан при $\tau \gg t_d$. Измеряя τ в единицах t_{rel} , получим следующие оценки границ применимости теории: 10^{-3} и 10^{-2} при $a/R = 0.1$ соответственно для $f = 10^5$ и $f = 10^4$, и $2.5 \cdot 10^{-3}$ и $2.5 \cdot 10^{-4}$ при $a/R = 0.3$ и тех же значениях силы. Представленные на вставке данные показывают, что вблизи этих значений характер зависимости скорости дрейфа от τ резко меняется. При τ/t_{rel} , меньших указанных значений, функция $v_0(F, \tau)$ затухает с уменьшением времени переключения не как $\sqrt{\tau}$, что предсказывает формула (37), а гораздо быстрее. В то же время, согласно данным

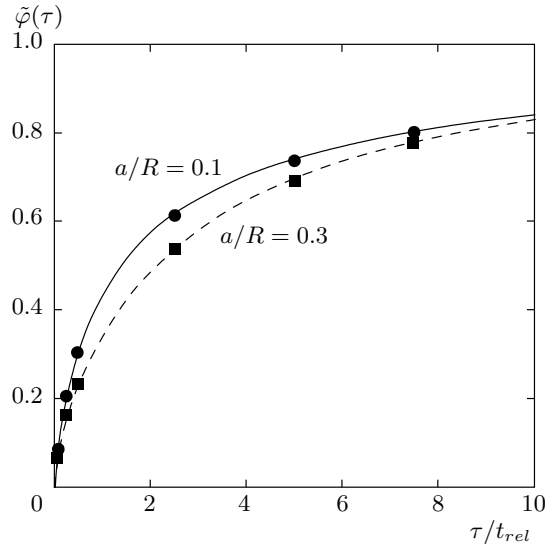


Рис. 5. Сопоставление аналитических и численных результатов, характеризующих рост силы остановки с увеличением времени переключения τ . Графики зависимости $\tilde{\varphi}(\tau)$, определяемой формулами (22) и (31), представлены кривыми, а соответствующие результаты компьютерного моделирования — символами

моделирования, она убывает с ростом τ существенно более медленно, чем это происходит в энергетическом $1D$ -потенциале, где, как было показано в работе [58], $v_0(F, \tau) \propto \tau^4$ при $\tau \rightarrow 0$.

На рис. 5 представлена зависимость $\tilde{\varphi}(\tau)$ от τ/t_{rel} , рассчитанная по формулам (22) и (31) при $a/R = 0.1$ и $a/R = 0.3$. Она характеризует уменьшение силы остановки с ростом частоты переключения силы. Символами представлены значения $\tilde{\varphi}(\tau)$, полученные на основании данных моделирования. Следуя второй из формул (21), они определялись как отношение силы остановки $Q_s(F, \tau)$, найденной в компьютерном эксперименте при заданных F и τ , к силе остановки в адиабатическом режиме $Q_{s,ad}(F) = \alpha F$ при той же амплитуде F . Сопоставление результатов аналитических и численных расчетов (полученных при $a/R = 0.1, 0.3$ и $f = 10^5$) показывает их хорошее согласие друг с другом.

Рисунки 4 и 5, служат не только наглядной иллюстрацией обсуждаемого эффекта, но и убедительно свидетельствуют об адекватности основных приближений, положенных в основу теории, и подтверждают оценки области их применимости.

4. ЭФФЕКТИВНОСТЬ ПРЕОБРАЗОВАНИЯ ЭНЕРГИИ

Функционирование мотора связано с преобразованием энергии, вносимой возмущением $\mathbf{F}(t)$, в направленное движение. Эффективность такого преобразования (КПД), наряду со скоростью направленного движения, является важнейшей характеристикой мотора. Следуя термодинамическому определению эффективности [16, 17], под полезной понимается работа против силы нагрузки, которая в единицу времени (в среднем за период изменения силы) равна $P_{out} = Qv(F, \tau; Q)$. Затраченная (в единицу времени) работа по организации движения, P_{in} , есть просто произведение амплитуды возмущения на сумму средних скоростей частицы в каждом из полупериодов. С учетом соображений, изложенных в последнем абзаце в разд. 3.3, и считая, как обычно, $f \gg 1$, среднее значение P_{in} можем записать в виде

$$P_{in} = \frac{1}{2} \mu_0 F \left[F - Q + (F + Q) \int_0^\tau \frac{p(t) dt}{\tau} \right].$$

Воспользовавшись выражениями для P_{in} и P_{out} , а также формулами (22) и (23), получим, что эффективность равна

$$\eta(q, \tau) = \frac{P_{out}}{P_{in}} = \frac{\alpha q \varphi(\tau) [1 - q/q_s(\tau)]}{1 - \alpha q + \alpha(1 + q) [1 - \varphi(\tau)]}, \quad (40)$$

где $q = Q/F$ — безразмерная сила нагрузки и $q_s(\tau) = Q_s(F, \tau)/F = \alpha \tilde{\varphi}(\tau)$ — безразмерная сила остановки ($q \leq q_s$), параметр α , характеризующий асимметрию подвижности при $F \rightarrow \infty$, задан формулой (14), $\varphi(\tau)$ находится из формулы (31) и $\tilde{\varphi}(\tau)$ определяется формулой (22). Легко убедиться в том, что $P_{in} > P_{out}$, т. е. $\eta(q, \tau) < 1$ при всех значениях параметров, как и должно быть. Из формулы (40) следует, что эффективность а) обращается в нуль в предельных случаях $q = 0$ и $q = q_s$, принимая максимальное значение в промежутке между ними; б) убывает с ростом частоты переключения силы, обращаясь в нуль при $\tau = 0$; в) растет с увеличением параметра α , характеризующего асимметрию трубки. К последнему утверждению следует отнести к определенной осторожностью. При очень малых значениях a/R (и, соответственно, значениях α близких к единице) асимметрия времен релаксации ослабевает и эффективность мотора резко убывает.

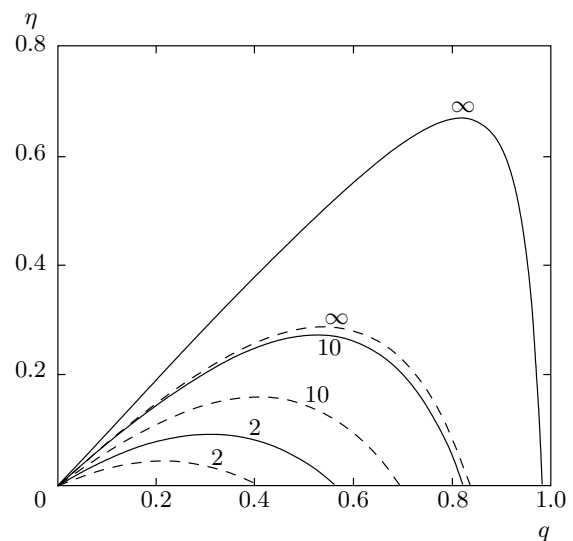


Рис. 6. Зависимость эффективности преобразования энергии η от безразмерной силы нагрузки $q = Q/F$. Графики $\eta(q)$ рассчитаны по формулам (41) и (44) при различных временах переключения силы (указанных цифрами возле кривых) и отношении радиусов. Сплошные кривые отвечают $a/R = 0.1$, штриховые — $a/R = 0.3$

4.1. Адиабатический предел

Наиболее эффективно вносимая энергия преобразуется, если процесс протекает предельно медленно, т. е. при $\tau \rightarrow \infty$. В этом случае $\varphi(\infty) = \tilde{\varphi}(\infty) = 1$ и сила остановки принимает максимальное для заданной геометрии значение, $q_s(\infty) = \alpha$, благодаря чему формула (40) заметно упрощается:

$$\eta(q, \infty) \equiv \eta_{ad}(q) = q \frac{\alpha - q}{1 - \alpha q}, \quad 0 \leq q \leq \alpha. \quad (41)$$

Зависимость $\eta_{ad}(q)$ имеет немонотонный характер (рис. 6). Обращаясь в нуль на концах интервала $(0, \alpha)$, она принимает свое максимальное значение

$$\eta_{ad}(q_m) = q_m^2 = \alpha^{-2} \left(1 - \sqrt{1 - \alpha^2} \right)^2 \quad (42)$$

при силе нагрузки равной

$$q_m = \alpha^{-1} \left(1 - \sqrt{1 - \alpha^2} \right). \quad (43)$$

Единственным параметром, контролирующим максимальную эффективность в адиабатическом режиме, является асимметрия подвижности α . Его малость, $\alpha \ll 1$, означает медленность дрейфа и узость диапазона возможных нагрузок (см. формулы (13) и (14)), а также указывает на низкую

(порядка α) эффективность преобразования энергии, как это следует из формулы (42). В обратном пределе, $\alpha \rightarrow 1$, максимальная эффективность (42) близка к единице. Таким образом, условием достижения высокой эффективности является наличие высокого энтропийного барьера (в одном из направлений), точно так же как в случае энергетического $1D$ -потенциала, таким условием служит высокий энергетический барьер, запирающий обратный поток [19].

Высокая эффективность достигается, однако, в условиях, когда сам эффект (скорость дрейфа частицы) мал. Действительно, при $\alpha \rightarrow 1$ нагрузка q_m близка к силе остановки α , поскольку, согласно формуле (43), разность $\alpha - q_m \propto \sqrt{1-\alpha}$. При этом скорость частицы при нулевой нагрузке составляет лишь малую долю, $\sqrt{1-\alpha}$, от своего максимального значения $v_{ad,0}(F)$, определяемого формулой (14).

4.2. Влияние частоты переключений силы

По мере роста частоты переключений снижается скорость мотора, а также уменьшаются сила остановки мотора и его эффективность. Последнее вытекает как из формулы (40), так и из того факта, что с уменьшением τ заселенность (средняя за период) подвижного состояния оказывается выше равновесной, способствуя уменьшению скорости дрейфа (полезной работы) и увеличению затраченной работы.

Влияние частоты переключений на эффективность становится особенно наглядным, если, воспользовавшись формулами (13) и (22), представить выражение (40) в виде

$$\eta(q, \tau) = q \frac{\alpha \tilde{\varphi}(\tau) - q}{1 - \alpha \tilde{\varphi}(\tau) q}, \quad 0 \leq q \leq q_s(\tau) = \alpha \tilde{\varphi}(\tau), \quad (44)$$

аналогичном формуле (41). Функция $\tilde{\varphi}(\tau)$ введена (см. формулу (21)) как величина, характеризующая снижение силы остановки с уменьшением τ . Как видно из формулы (44), она определяет спад эффективности с ростом частоты переключений. Из сопоставления формул (41) и (44) следует, что при $\tau < \infty$

1) числитель дроби в формуле (44) меньше, а знаменатель больше, чем в формуле (41), т. е. (при одной и той же нагрузке) $\eta(q, \tau) < \eta_{ad}(q)$;

2) снижение КПД эффективно учитывается заменой коэффициента асимметрии подвижности α на $\alpha \tilde{\varphi}(\tau) < \alpha$. Последнее позволяет использовать формулы (42) и (43) с перенормированными величинами α для нахождения положения $q_m(\tau)$ и величи-

ны максимума эффективности $\eta(q_m(\tau))$ как функции нагрузки при произвольном τ .

На рис. 6 представлены зависимости эффективности от нагрузки при различных значениях a/R (а значит, и α) и τ/t_{rel} . Все кривые на этом рисунке демонстрируют сходное немонотонное поведение. Эффективность обращается в нуль при $q = 0$, линейно возрастает в области $q \ll q_s(\tau) = \alpha \tilde{\varphi}(\tau)$, достигает максимального значения в точке $q_m(\tau)$, а затем быстро убывает до нуля при $q \rightarrow q_s$. Рисунок 6 также иллюстрирует тот факт, что эффективность мотора растет с ростом асимметрии трубы, достигая в адиабатическом пределе значений, близких к единице при малых a/R , а максимум смещается в сторону правой границы. Наиболее интересным наблюдением является то, что эффективность резко убывает в неадиабатических условиях, причем тем сильнее, чем выше ее значение при $\tau = \infty$. Так, при $\tau/t_{rel} = 10$, когда скорость дрейфа снижается по сравнению с максимальной всего на 10 % (см. рис. 4), а сила остановки на 20 % (см. рис. 5), эффективность уменьшается почти в 2.5 раза в случае $a/R = 0.1$ (в 1.8 раз в случае $a/R = 0.3$). Если же $\tau/t_{rel} < 2$, то эффективность преобразования энергии становится очень низкой даже при малых значениях a/R , в то время как сам эффект (скорость дрейфа) заметно снижается при гораздо более высоких частотах переключений.

5. ЗАКЛЮЧЕНИЕ

В работе проанализирована задача о дрейфе броуновской частицы в трубке, показанной на рис. 1a, возникающем под действием силы, периодически во времени меняющей свое направление. Предложенная модель представляет собой броуновский мотор, способный совершать работу против силы нагрузки, преобразуя энергию вносимых возмущений в направленное движение. Эффект выпрямления возникает благодаря качественно разному поведению эффективной подвижности μ частицы в зависимости от направления силы f (рис. 2a): при $f > 0$ ($f < 0$) подвижность увеличивается (уменьшается) с ростом силы, достигая максимального (минимального) значения при $f \rightarrow \infty$ ($f \rightarrow -\infty$). Конструктивную роль при этом играет тепловой шум, обеспечивающий радиальную диффузию, которая ответственна за релаксацию в поперечном направлении. Предложенный механизм обладает рядом особенностей. Во-первых, он опирается на асимметрию формы, а не потенциала, как в большинстве моделей,

обсуждавшихся ранее. Во-вторых, этот механизм наиболее эффективен в ситуации, когда амплитуда движущей силы велика, обеспечивая возможность неограниченной скорости дрейфа и силы остановки. Наконец, в-третьих, он способен в определенных условиях обеспечить достаточно высокий КПД.

Получены аналитические выражения для основных характеристик работы мотора: скорости направленного движения (формулы (23) и (31)), силы остановки (формулы (21) и (22)) и эффективности преобразования энергии (формула (44)). Это позволило выяснить зависимость этих характеристик от параметров, определяющих геометрию модели и внешнее воздействие, включая силу нагрузки. В частности, показано, как скорость, сила остановки и эффективность убывают по мере роста частоты переключения силы (см. рис. 4–6), и продемонстрировано немонотонное поведение эффективности с увеличением силы нагрузки (см. рис. 6). Предложенная теория основана на особенности геометрии обсуждаемой системы, в силу которой при больших амплитудах силы наряду с асимметрией подвижности имеет место асимметрия времен релаксации. На основе этого представляется, что оптимальный выбор отношения a/R находится в диапазоне $0.03 < a/R < 0.3$, где как асимметрия подвижности, так и асимметрия времен релаксации выражены достаточно отчетливо. Об адекватности используемых приближений свидетельствует тот факт, что предсказания теории находятся в хорошем согласии с данными компьютерного моделирования (см. рис. 4 и 5) во всем диапазоне параметров модели за исключением области асимптотически малых (по обратной величине силы) времен переключения, где предложенная теория не пригодна.

В данной работе был рассмотрен лишь один, простейший тип возмущений — сила, периодически меняющая направление. В действительности эффект имеет место при воздействии на частицу произвольно (как регулярно, так и случайно) меняющейся силы с нулевым средним.

Работа выполнена при финансовой поддержке РФФИ (грант № 10-03-00393).

ПРИЛОЖЕНИЕ А

В этом приложении изложены наиболее важные детали компьютерного моделирования, используемого в данной работе для анализа движения частицы в трубках переменного сечения (рис. 1 a и 3 a) под

действием как постоянной (рис. 2 a и 3 b), так и зависящей от времени силы (рис. 4–6). В обоих случаях траектории частицы получались путем численного интегрирования методом Эйлера приведенных к безразмерному виду стохастических дифференциальных уравнений, эквивалентных уравнениям движения (1) и (10) соответственно при $a/R = 0.1$ и $a/R = 0.3$. Учет отражающего граничного условия на стенках трубы проводился следующим образом. Если в результате сделанного шага частица оказывалась вне трубы, то лишь компонента этого шага, параллельная поверхности, принималась во внимание, его нормальная компонента не учитывалась. В обоих случаях время наблюдения (длина траектории) бралось достаточно большим (от $20R^2/D_0$ до $200R^2/D_0$), чтобы можно было пренебречь переходной стадией процесса.

В случае постоянной силы (рис. 2 a и 3 b) моделирование проводилось при значениях безразмерной силы $f = \beta FL$ от 0.1 до 10^5 с постоянным временным шагом, принимающим значения от $1.25 \cdot 10^{-7} R^2/D_0$ до $2 \cdot 10^{-6} R^2/D_0$, в зависимости от величины силы f и отношения радиусов a/R . Значение эффективной подвижности $\mu(f)/\mu_0$ вычислялось по формуле (2) в результате усреднения по 10^5 траекторий. В случае переменной силы моделирование (рис. 4–6) проводилось при $f = 10^4$ и $f = 10^5$ с временным шагом $8 \cdot 10^{-8} R^2/D_0$, одним и тем же при разных значениях f и a/R . Эффективная скорость дрейфа вычислялась по формуле (11) в результате усреднения по $2.5 \cdot 10^3$ траекторий. Величина силы нагрузки менялась от нуля до силы остановки.

ПРИЛОЖЕНИЕ В

Покажем, как суммируется ряд

$$\sum_{n=1}^{\infty} \frac{J_1^2(\varepsilon_n x)}{\varepsilon_n^4 J_0^2(\varepsilon_n)} = S(x), \quad 0 \leq x \leq 1, \quad (\text{B.1})$$

входящий в формулу (32). Вначале заметим, что $S(x)$ удовлетворяет уравнению

$$\frac{dS(x)}{dx} = 2 \left[\frac{S(x)}{x} - S_1(x) \right], \quad (\text{B.2})$$

где

$$S_1(x) = \sum_{n=1}^{\infty} \frac{J_1(\varepsilon_n x) J_2(\varepsilon_n x)}{\varepsilon_n^3 J_0^2(\varepsilon_n)}.$$

Затем для вычисления вспомогательной суммы $S_1(x)$ воспользуемся формулой (30), обе части которой один раз умножим на $3x^3$ и проинтегрируем от

0 до x , а второй раз умножим на x , проинтегрируем от 0 до x и умножим на x^2 . Вычитая из первой полученной таким образом формулы вторую и используя соотношение

$$\begin{aligned} 3 \int_0^x y^3 J_1^2(\xi y) dy - x^2 \int_0^x y J_1^2(\xi y) dy = \\ = \frac{1}{2} \frac{x^3}{\xi} J_1(\xi x) J_2(\xi x), \quad (\text{B.3}) \end{aligned}$$

где ξ — произвольное число, получим, что

$$S_1(x) = \frac{x(1-x^2)}{16}. \quad (\text{B.4})$$

И, наконец, решив дифференциальное уравнение (B.2) с учетом формулы (B.4) при условии $S(1) = 0$, найдем интересующую нас величину

$$S(x) = \frac{x^2}{16}(x^2 - 1 - \ln x^2). \quad (\text{B.5})$$

Этот результат доказывает эквивалентность формул (32) и (33) основного текста статьи.

ЛИТЕРАТУРА

1. M. V. Smoluchowski, Phys. Z. **13**, 1069 (1912).
2. Р. Фейнман, Р. Лайтон, М. Сэндс, *Фейнмановские лекции по физике*, Мир, Москва (1967), т. 4, гл. 46.
3. В. И. Белиничер, Б. И. Стурман, УФН **130**, 415 (1980).
4. J. Howard, *Mechanics of Motor Proteins and the Cytoskeleton*, Sinauer Associates, Sunderland (2001).
5. B. Hille, *Ionic Channels of Excitable Membranes*, Sinauer Associates, Sunderland (1992).
6. Г. Р. Иваницкий, А. Б. Медвинский, А. А. Деев, М. А. Цыганов, УФН **168**, 1221 (1998).
7. Ю. Л. Романовский, А. Н. Тихонов, УФН **180**, 931 (2010).
8. K. E. Drexler, *Nanosystems: Molecular Machinery, Manufacturing and Computation*, Wiley, New York (1992).
9. P. Hänggi and F. Marchesoni, Rev. Mod. Phys. **81**, 387 (2009).
10. R. Bartussek and P. Hänggi, Phys. Bl. **51**, 506 (1995).
11. F. Jülicher, A. Ajdari, and J. Prost, Rev. Mod. Phys. **69**, 1269 (1997).
12. R. D. Astumian, Science **276**, 917 (1997).
13. P. Reimann, Phys. Rep. **361**, 57 (2002).
14. P. Hänggi, F. Marchesoni, and F. Nori, Ann. der Phys. **14**, 51 (2005).
15. Yu. A. Makhnovskii, V. M. Rozenbaum, D.-Y. Yang, and S. H. Lin, J. Chem. Phys. **130**, 164101 (2009).
16. K. Sekimoto, J. Phys. Soc. Jpn. **66**, 1234 (1997).
17. J. M. R. Parrondo and B. J. de Cisneros, Appl. Phys. A **75**, 179 (2002).
18. L. Machura, M. Kostur, P. Talkner et al., Phys. Rev. E **70**, 061105 (2004).
19. Yu. A. Makhnovskii, V. M. Rosenbaum, D.-Y. Yang et al., Phys. Rev. E **69**, 021102 (2004).
20. R. D. Astumian and M. Bier, Phys. Rev. Lett. **72**, 1766 (1994).
21. В. М. Розенбаум, ЖЭТФ **137**, 740 (2010).
22. A. Ajdari and J. Prost, C. R. Acad. Sci. Paris Ser. II **315**, 1635 (1992).
23. M. O. Magnasco, Phys. Rev. Lett. **71**, 1477 (1993).
24. R. Bartussek, P. Hänggi, and J. G. Kissner, Europhys. Lett. **28**, 459 (1994).
25. B. Q. Ai and L. G. Liu, Phys. Rev. E **74**, 051114 (2006).
26. B. Q. Ai, H. Z. Xie, and L. G. Liu, Phys. Rev. E **75**, 061126 (2007).
27. I. Derényi and R. D. Astumian, Phys. Rev. E **58**, 7781 (1998).
28. C. Keller, F. Marquardt, and C. Bruder, Phys. Rev. E **65**, 041927 (2002).
29. C. Kettner, P. Reimann, P. Hänggi, and F. Müller, Phys. Rev. E **61**, 312 (2000).
30. C. Marquet, A. Buguin, L. Talini, and P. Silberzan, Phys. Rev. Lett. **88**, 168301 (2002).
31. S. Matthias and F. Müller, Nature **424**, 53 (2003).
32. G. Schmid, P. S. Burada, P. Talkner, and P. Hänggi, Adv. Sol. St. Phys. **48**, 317 (2009).
33. R. Zwanzig, J. Phys. Chem. **96**, 3926 (1992).
34. D. Reguera and J. M. Rubi, Phys. Rev. E **64**, 061106 (2001).
35. Р. Л. Стратонович, Радиотехн. и электрон. **3**, 494 (1958).

36. H. Risken, *The Fokker-Planck Equation*, Springer, Berlin (1984).
37. P. Reimann, C. Van den Broek, H. Linke et al., Phys. Rev. Lett. **87**, 010602 (2001).
38. D. Reguera, G. Schmid, P. S. Burada et al., Phys. Rev. Lett. **96**, 130603 (2006).
39. P. S. Burada, G. Schmid, and P. Hänggi, Phil. Trans. Roy. Soc. London A **367**, 3157 (2009).
40. F. Marchesoni and S. Savel'ev, Phys. Rev. E **80**, 011120 (2009).
41. F. Marchesoni, J. Chem. Phys. **132**, 166101 (2010).
42. A. M. Berezhkovskii, L. Dagdug, Yu. A. Makhnovskii, and V. Yu. Zitserman, J. Chem. Phys. **132**, 221104 (2010).
43. Yu. A. Makhnovskii, A. M. Berezhkovskii, L. V. Bogachev, and V. Yu. Zitserman, J. Phys. Chem. B **115**, 3992 (2011).
44. L. Dagdug, A. M. Berezhkovskii, Yu. A. Makhnovskii et al., J. Chem. Phys. **134**, 101102 (2011).
45. V. Yu. Zitserman, A. M. Berezhkovskii, A. E. Antipov, and Yu. A. Makhnovskii, J. Chem. Phys. **135**, 121102 (2011).
46. M. H. Jacobs, *Diffusion Processes*, Springer, New York (1967).
47. S. Lifson and J. L. Jackson, J. Chem. Phys. **36**, 2410 (1962).
48. В. Феллер, *Введение в теорию вероятностей и ее приложения*, т. 2, Мир, Москва (1984).
49. A. M. Berezhkovskii and A. Szabo, J. Chem. Phys. **135**, 074108 (2011).
50. A. M. Berezhkovskii, V. Yu. Zitserman, and S. Y. Shvartsman, J. Chem. Phys. **118**, 7146 (2003).
51. Ю. А. Махновский, В. Ю. Зицерман, А. М. Бережковский, Хим. физика **28**, 61 (2009).
52. Yu. A. Makhnovskii, A. M. Berezhkovskii, and V. Yu. Zitserman, J. Chem. Phys. **131**, 104705 (2009).
53. A. M. Berezhkovskii, Yu. A. Makhnovskii, M. I. Monine et al., J. Chem. Phys. **121**, 11390 (2004).
54. Yu. A. Makhnovskii, A. M. Berezhkovskii, and V. Yu. Zitserman, J. Chem. Phys. **122**, 236102 (2005).
55. C. B. Muratov and S. Y. Shvartsman, Multiscale Model. Simul. **7**, 44 (2008).
56. Е. Янке, Ф. Эмде, Ф. Леш, *Специальные функции (формулы, графики, таблицы)*, Наука, Москва (1968).
57. A. M. Berezhkovskii, J. Chem. Phys. **370**, 253 (2010).
58. P. Reimann, Lecture Notes in Phys. **557**, 50 (2000).